

# Wechselwirkung von Strahlung mit Materie

- ausgenutzt in Detektoren
- verschiedene Effekte dominieren je nach

<u>Teilchenart</u>	<u>Masse</u>	<u>Ladung</u>	<u>Wechselwirkung</u>
	$m=0$ ( $\gamma$ )	geladen: $e^\pm, \mu^\pm, p, \bar{p}, \dots$	elektromagnetisch (gel., $\gamma$ )
"leicht": $e^\pm$		neutral: $n, \bar{n}, \nu, \bar{\nu}, \gamma$	Schwach ( $\nu$ )
"schwer": $\mu, p, K, \pi$		Neutron: erst starke WW oder Zerfall	stark ( $n, K, \text{Hadronen}$ )

Neutrino: erst schwache WW mit Detektor) Reaktionsprodukte  
↳ 99,999999999%:  
fehlender Impuls

- geladene Teilchen: Ionisation

$e, \mu, \pi^\pm, K^\pm, p$  Bremsstrahlung

Cherenkov-Effekt

Übergangsstrahlung

Photonen: Photoeffekt

Comptoneffekt

Paarbildung

- Spezifischer Energieverlust durch Ionisation ,  $dE/dx$

Bethe - Bloch - Gleichung (1930 - 1933) :

$$\frac{dE}{dx} = D_e \left( \frac{Z_1}{\beta} \right)^2 \eta_e \left[ \ln \left( \frac{2mc^2 \beta^2 \gamma^2}{I} \right) - \beta^2 - \frac{\sigma(\gamma)}{2} \right]$$

$$4\pi r_e^2 m_e c^2 \\ = 5 \cdot 10^{-25} \text{ MeV cm}^2$$

einlaufendes Teilchen

Material-Einfluss

- $\frac{dE}{dx} \propto Z_1^2 \cdot Z_2$

- Teilchenmasse geht nicht ein, nur Geschwindigkeit:

$$\frac{dE}{dx} \propto \frac{1}{\beta^2} \text{ bei kleiner Energie}$$

- relativistischer Anstieg mit  $\ln \gamma^2$

- ... begrenzt durch Dichteefekt  $\sigma(\gamma)$   $\Rightarrow \frac{dE}{dx} \rightarrow \text{const.}$

- Minimum von  $\frac{dE}{dx}$  beträgt  $1-2 \text{ MeV/g cm}^2 \cdot g$   
und liegt bei  $\beta\gamma \approx 3-4$

$$\eta_e = Z_2 \eta_a = Z_2 \frac{N_A g}{A}$$

$$I \approx Z_2 \cdot 10 \text{ eV}$$

"mittleres Ionisationspotentiel"

$\sigma$  = Dichte - Korrektur

spez. Energieverlust :

$$\frac{dE}{d(gx)} = \frac{1}{g} \cdot \frac{dE}{dx}$$

in  $\text{MeV/g cm}^{-2}$

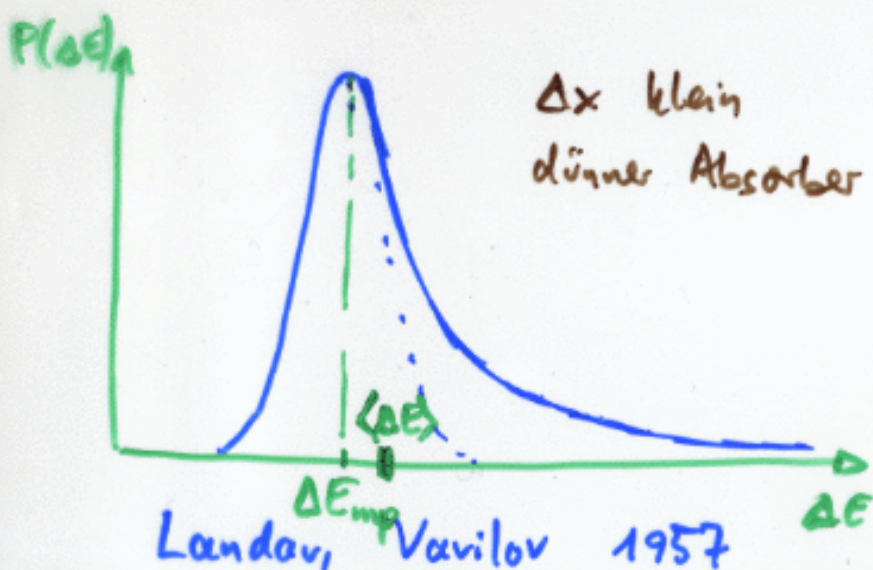
# Fluktuationen im Energieverlust durch Ionisation

$\frac{dE}{dx}$  = mittlerer Energieverlust,

zentrale Stoße seltener als periphere:  $P(\Delta E \text{ groß}) < P(\Delta E \text{ klein})$

$\Delta E$  für dünne Materieschicht:  $\Delta E = \frac{dE}{dx} \cdot \Delta x$

hat asymmetrische Wahrscheinlichkeitsverteilung mit „Landau-Schwartz“

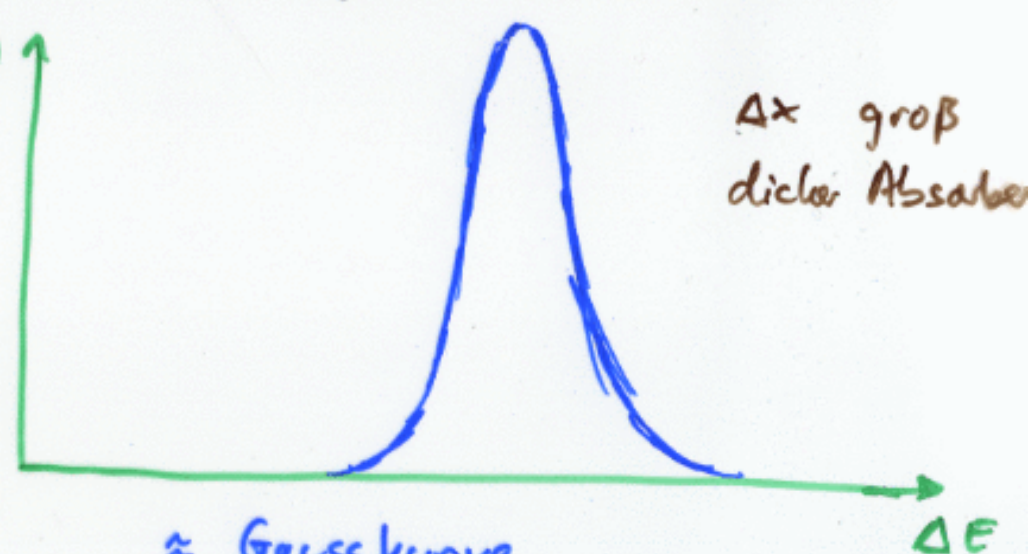


analytische Näherung: Moyal-Funktion

$$X(\lambda) = a \cdot \exp\left(-\frac{1}{2}(\lambda - e^{-\lambda})\right)$$

$$\lambda = (\Delta E - \Delta E_{\text{emp}})/b$$

$a = \text{Höhe}$   
 $\Delta E_{\text{emp}} = \text{Lage}$   
 $b = \text{Breite}$

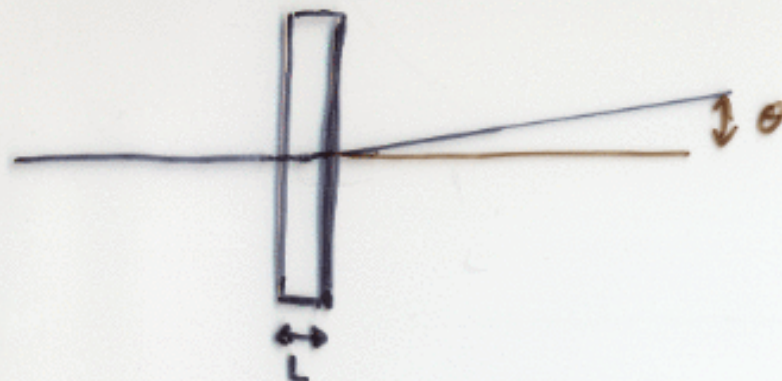


$\Delta E = \sum$  vieler kleiner Zufallsverst.

Zentraler Grenzwertsatz

Gauß-Verteilung

## - Vielfachstreuung



Statistischer Prozess

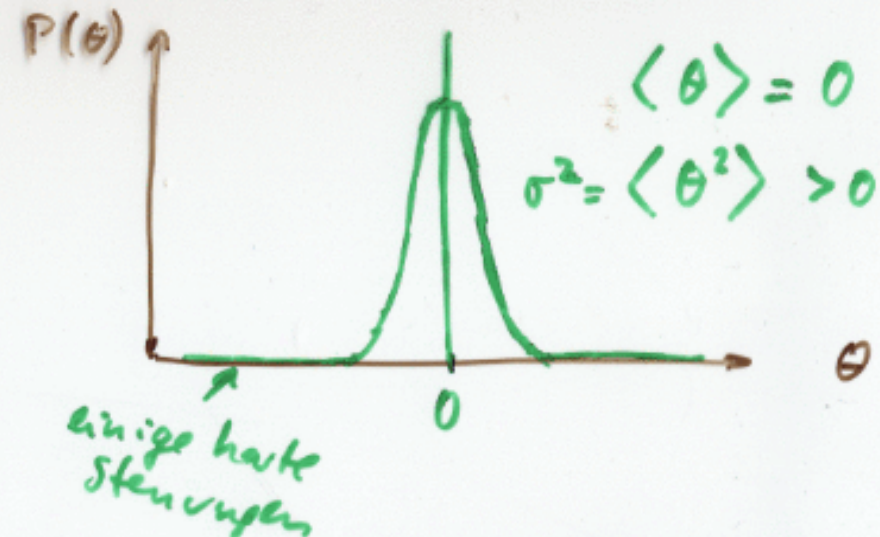
$$\theta_{\text{Streu}} \propto \sqrt{L}, \quad \propto \frac{1}{P} \quad \text{mit charakteristischen Skalenfunktionen}$$

$$\text{Praktische Näherung: } \sqrt{\langle \theta_{\text{Streu}}^2 \rangle} \approx \frac{21(\text{MeV}/c)}{p/( \text{MeV}/c)} \cdot \sqrt{\frac{L}{x_0}}$$

$x_0 = \text{Strahlungslänge}$

$P_b: 5 \text{ mm}$

Plastik: 40 cm



- Energieverlust von leichten Teilchen :  $e^\pm$

$E \leq E_c$  : überwiegend Ionisation

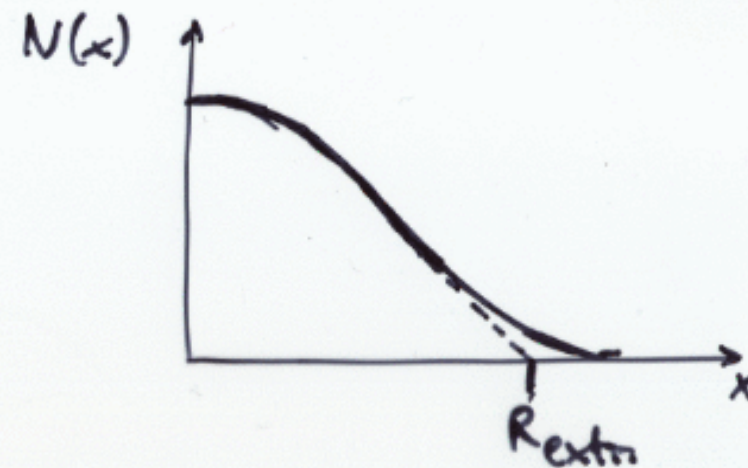
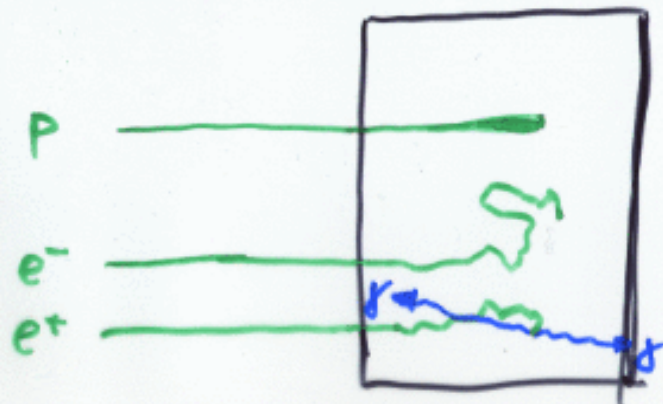
$E \geq E_c$  : " Bremsstrahlung

} beide  $\beta \rightarrow 1$

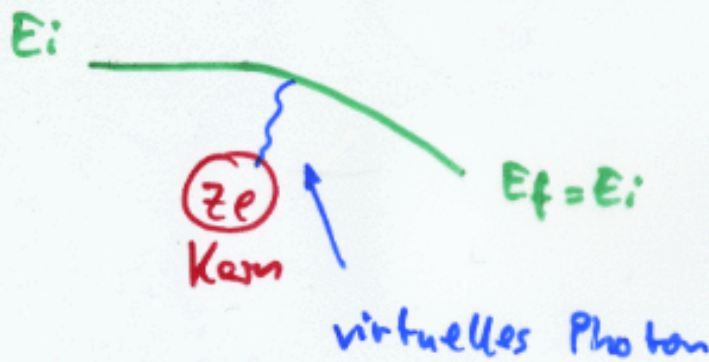
$$E_c = \text{kritische Energie} \approx \frac{600 \text{ MeV}}{Z_{\text{absorber}}}$$

es gibt genauere Formeln für  $e^\pm$ -Ionisation (Spin abh., Ladungseffekte etc)

Reichweite von  $e^\pm$  irregulär!



Strahlungsbereich  $E > E_c$ :



elastische Streuung

$$\text{Bethe - Heitler 1934 : } N(\omega) d\omega \propto Z^2 \frac{d\omega}{\omega}$$

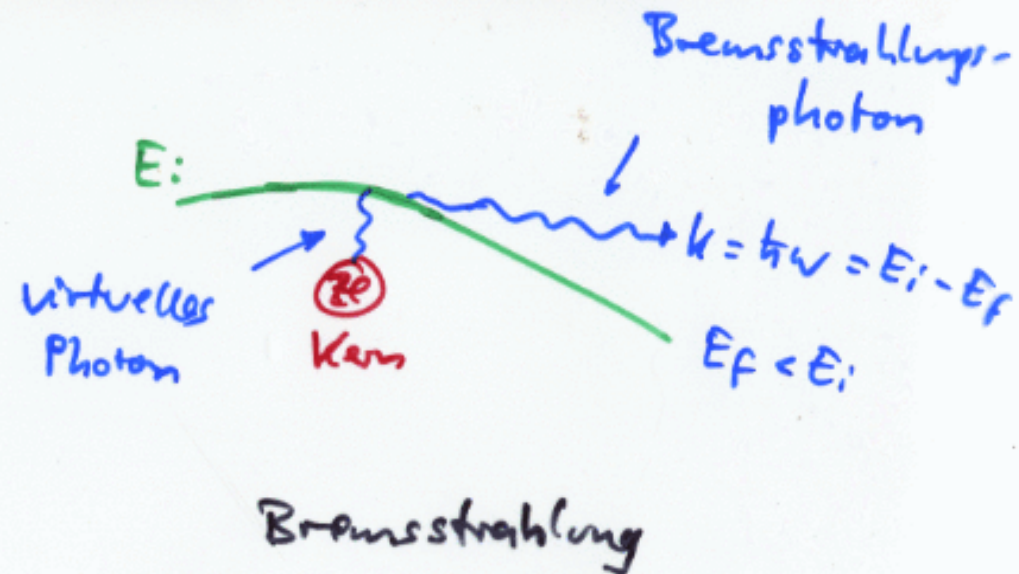
$$\frac{d\sigma}{dk} \propto Z_1^4 \cdot Z^2 \cdot \frac{1}{m^2} \cdot \frac{1}{k}$$

schwere Absorber  
 effektiver  
 $\mu_p$  stark unterdrückt  
 $m_p \approx 200 \cdot m_e$

MeV - Spektrum

$$-\text{Integration über } k \rightarrow \frac{dE}{dx}|_{\text{rad}} = -\frac{1}{X_0}$$

$X_0$  = Strahlungslänge



Bremsstrahlung

$$E = E_0 \cdot e^{-\frac{x}{X_0}}$$

## Wechselwirkung von Photonen

Photoeffekt	alles / nichts	überwiegt bei kleinen Energien
Comptoneffekt	kontinuierlich	fällt mit $E$
Paarbildung	alles / nichts	erst ab $E_f > 2mc^2$ möglich

Photoeffekt und Paarbildung absorbieren das Photon,  
es „ist danach weg“

→ „Reichweite“ für Photonen falscher Konzept

Intensität eines Photonstrahls nimmt exponentiell ab

$$I(\lambda) = I_0 \cdot e^{-\mu\lambda} = I_0 e^{-\frac{\lambda}{\lambda}}$$

$\lambda = \frac{1}{\mu}$  = (Abschwächungskoeffizient) $^{-1}$  = mittlere freie Weglänge

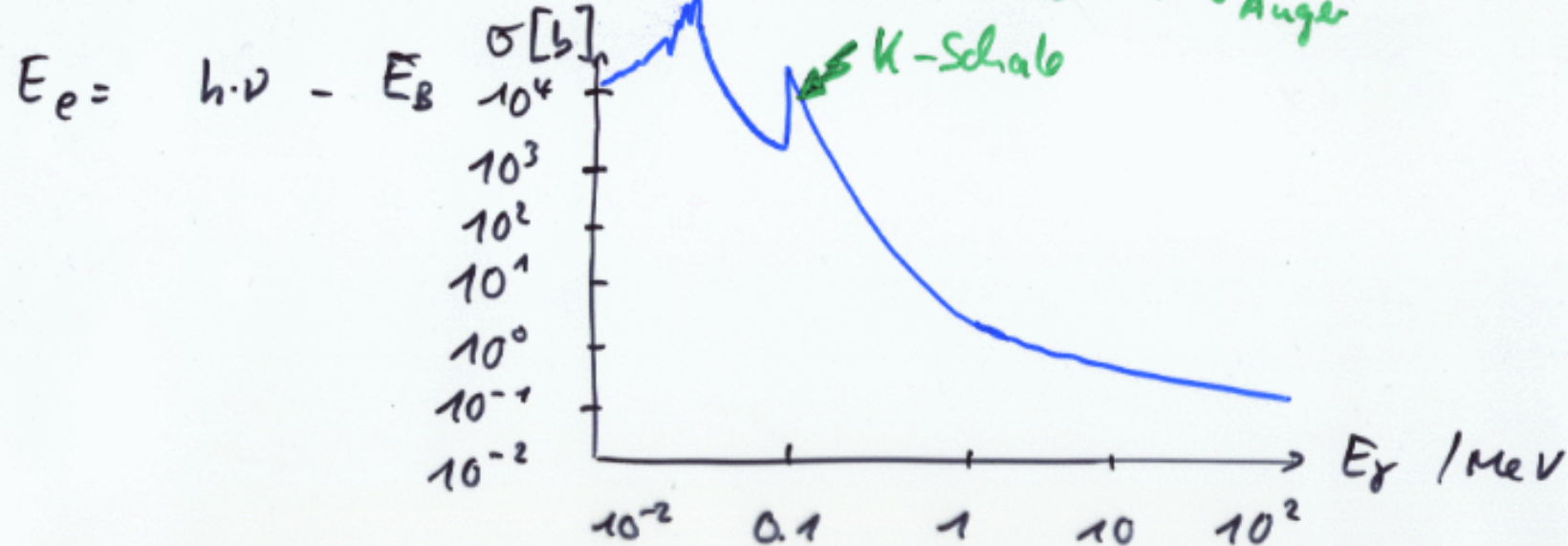
$$\mu_{\text{total}} = \mu_{\text{ph}} + \mu_{\text{el}} + \mu_{\text{paar}}$$

## - Photoeffekt

Absorption eines Photons durch ein im Atom gebundenes Elektron (Bindungsenergie  $E_B$ ) nimmt Impuls auf

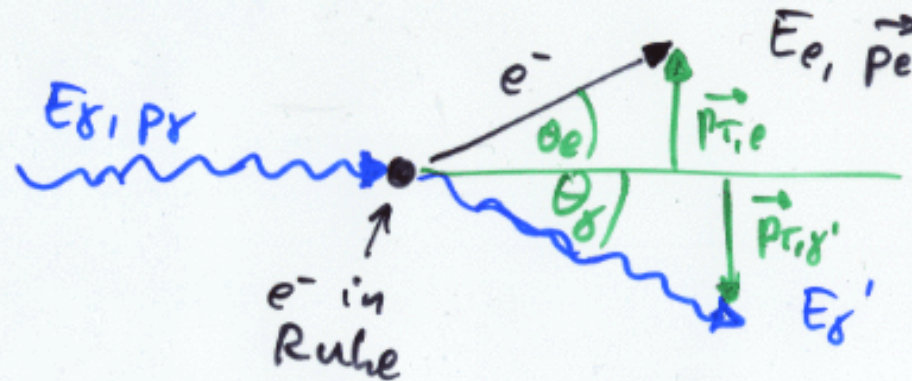


Atom +  $\gamma$  durch Rekombination  
Atom +  $e^-$  Auger



Q.M. Berechnung kompliziert, wenn volle Wellenfunktion des Elektrons berücksichtigt werden soll.

- Compton-Streuung
- $\gamma$  - Streuung an einem „freien“ Elektron ( $E_e$  vernachlässigbar)



elastische Streuung

$$p_\gamma' = \frac{E_\gamma'}{c} = \frac{h\nu'}{c}$$

Impulserhaltung:

longitudinal:	$\frac{h\nu}{c} = \frac{h\nu'}{c} \cos \theta_\gamma + p_e \cos \theta_e$
transversal:	$0 = \frac{h\nu}{c} \sin \theta_\gamma - p_e \sin \theta_e$

Energieerhaltung:  $(m_ec^2)h\nu = h\nu' + E_e$

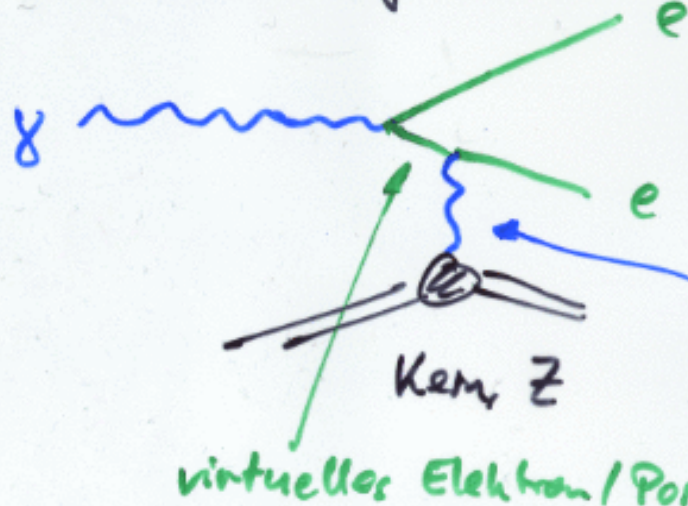
$$h\nu' = E_\gamma' = \frac{E_\gamma}{1 + \frac{E_\gamma}{m_ec^2} (1 - \cos \theta_\gamma)}$$

Energieverlust des ~~Scattered~~ Photons  $\hat{=}$  Wellenlängenverschiebung

$$\Delta\lambda = \lambda_c (1 - \cos \theta_\gamma) \quad \text{mit } \lambda_c = \frac{hc}{m_ec^2} = \text{Compton-Wellenlänge}$$

## - Paarbildung

= Absorption eines Photons im Coulombfeld von Kernen (oder) und Bildung eines  $e^+ e^-$ - Paars



Coulomb-Feld des  
Kerns = virtuelles  
Photon

virtuelles Elektron / Positron

Schwellenverhalten:

$$E_f \geq 2 \cdot m_e \cdot c^2 + 2 \cdot \frac{m_e^2}{m} c^2$$

Ruheenergie von  
Elektron + Positron

Energieabhängigkeit:

$$\sigma_p \propto Z^2 \ln E_f \quad \text{für } 5 m_e c^2 < E_f < 50 m_e c^2$$

$$\propto Z^2 \quad \text{für } E_f > 1000 m_e c^2$$

$$E_f > 2 m_e c^2$$

Kern- oder  
 Elektron-  
 Masse

$m_K \gg m_e$

$E_f > 4 m_e c^2$

## - Cherenkov - Strahlung

= Lichtemission von Teilchen bei Bewegungen mit  
 $v > \frac{c}{n}$  in Medium mit Brechungsindex  $n$

Geometrische Konstruktion:

Teilchen:  $\overline{AB} = \beta c t$  } ebenso für  $A'C'$ ,  $A'B$  etc für alle  $t$   
Photon:  $\overline{AC} = \left(\frac{c}{n}\right) \cdot t$  }

⇒ unter  $\theta_c$  wird eine e.m. Schallwelle emittiert

$$\cos \theta_c = \frac{1}{n \cdot \beta}$$

- Schwellenverhalten: Emission nur für  $\beta > \frac{1}{n}$

Schwellen-Cherenkov-Detektoren zur

- Ring Imaging Cherenkov RICH: Teilchenidentifizierung  
misst Öffnungswinkel aus  $\approx 10$  abgestrahlten  
Photonen von Spur

